

ИССЛЕДОВАНИЕ ОПТИМАЛЬНЫХ ПО СТЕПЕНИ УСТОЙЧИВОСТИ РЕШЕНИЙ ПРИ ПИД УПРАВЛЕНИИ. ЧАСТЬ 2

А. М. Шубладзе

*(Институт проблем управления им. В.А. Трапезникова
РАН, г. Москва)*

shub@ipu.rssi.ru

В. Е. Попадько, , А. А. Якушева

*(Российский государственный университет нефти и газа
им. И.М. Губкина, г. Москва)*

yakusheva_a@mail.ru

С. И. Кузнецов

(ОАО НИИТЕПЛОПРИБОР, г. Москва)

В работе рассматривается синтез систем управления по критерию максимальной степени устойчивости для ПИД – закона управления. Проводится исследование основных оптимальных по степени устойчивости решений, что позволило наметить дальнейший путь развития метода машинным способом.

Ключевые слова: синтез систем максимальной степени устойчивости, исследование оптимальных по степени устойчивости решений.

Введение

Работа продолжает исследования по синтезу систем максимальной степени устойчивости, проведенные в [1]. В цитированной работе был рассмотрен ряд оптимальных по степени устойчивости решений для ПИД закона управления которые касались следующих четырех случаев:

1. Случай действительных корней оптимального решения;

2. Случай трех действительных корней и одной комплексно-сопряженной пары корней;

3. Случай двух действительных корней и одной комплексно-сопряженной пары корней;

4. Случай двух действительных и двух пар комплексно-сопряженных корней;

Всего при ПИД законе управления, как указывалось в [2], возможны 9 случаев оптимальных по степени устойчивости решений. В настоящей работе будут исследованы оставшиеся 5 случаев. При этом постановка самой задачи оптимального по степени устойчивости управления и все используемые обозначения будут те же самые, что и в работе [1]. С целью более понятного и удобного восприятия материала статьи повторим некоторые из этих обозначений.

Максимальная степень устойчивости

$$(1) \quad I_{\text{оп}} = -\min \max \operatorname{Re} \lambda_j(k_{\text{П}}, k_{\text{И}}, k_{\text{Д}}),$$

где λ_j - корни характеристического полинома

$$D_{n+1}(\lambda) = \lambda^{n+1} + \sum_1^n a_i \lambda^i + k_0(k_{\text{П}}\lambda + k_{\text{И}} + \lambda^2 k_{\text{Д}})$$

который после замены λ на $\lambda - I_{\text{оп}}$ при $k_{\text{П}} = k_{\text{Поп}}$, $k_{\text{И}} = k_{\text{Иоп}}$ и $k_{\text{Д}} = k_{\text{Доп}}$ превращается в

(2)

$$D_{1(n+1)}(\lambda_1, k_{\text{Поп}}, k_{\text{Иоп}}, k_{\text{Доп}}) = \lambda_1^{n_q} \prod_{i=1}^{n_{k1}} (\lambda_1^2 + \omega_i^2)^{\gamma_i} D_{1[(n+1-n_q-2n_k)]}(\lambda_1) = \\ = \lambda_1^{n+1} + \sum_{i=3}^n a_i^* \lambda_1^{i-1} + \sum_{i=1}^2 a_i^* (k_{\text{Поп}}, k_{\text{Иоп}}, k_{\text{Доп}}) \lambda_1^{i-1},$$

где

$$(3) \quad a_i^* = \frac{1}{(i-1)!} \frac{\partial^{i-1} D_{(n+1)}(\lambda, k_{\text{Поп}}, k_{\text{Иоп}}, k_{\text{Доп}})}{\partial \lambda^{i-1}},$$

i - ая производная $D_{n+1}(\lambda)$ (1) при $\lambda = -I_{\text{оп}}$, $D_{1[(n+1-n_q-2n_k)]}(\lambda_1)$ - полином, не имеющий корней в правой полуплоскости. В про-

2

цессе исследований будет использован следующий модифицированный годограф характеристического полинома (3), в котором $\lambda_1 = i\omega, i^2 = -1$,

(4)

$$Z_{n0}(i\omega) = \operatorname{Re} D_{1(n+1)}(i\omega) + i\omega^{-1} \operatorname{Im} D_{1(n+1)}(i\omega) = \operatorname{Re}_0(\omega^2) + i \operatorname{Im}_0(\omega^2)$$

Проведем рассмотрение следующих 5 случаев, которые не были рассмотрены в [1].

1. Случай одного действительного корня и трех пар комплексно-сопряженных корней

В этом случае справедливы условия

$$(5) \quad n_g = 1, n_k = 3, \gamma_1 = \gamma_2 = \gamma_3 = 1,$$

при которых крайними правыми корнями (2) являются один действительный корень и три пары комплексно-сопряженных корней. Условие (5) может быть при

$$(6) \quad a_1^*(I_{\text{оп}}, k_{\text{Поп}}, k_{\text{Иоп}}, k_{\text{Доп}}) = 0, \Delta^{(0)}(I_{\text{оп}}, k_{\text{Поп}}, k_{\text{Иоп}}, k_{\text{Доп}}) = \\ = \Delta^{(1)}_{n-5}(I_{\text{оп}}, k_{\text{Поп}}, k_{\text{Иоп}}, k_{\text{Доп}}) = \Delta^{(2)}_{n-5}(I_{\text{оп}}, k_{\text{Поп}}, k_{\text{Иоп}}, k_{\text{Доп}}) = 0, \\ \Delta^{(0)}_j(I_{\text{оп}}, k_{\text{Поп}}, k_{\text{Иоп}}, k_{\text{Доп}}) > 0,$$

где $1 < j < n-5$, $\Delta^{(0)}_{n-5}(I_{\text{оп}}, k_{\text{Поп}}, k_{\text{Иоп}}, k_{\text{Доп}})$, $\Delta^{(1)}_{n-5}(I_{\text{оп}}, k_{\text{Поп}}, k_{\text{Иоп}}, k_{\text{Доп}})$, $\Delta^{(2)}_{n-5}(I_{\text{оп}}, k_{\text{Поп}}, k_{\text{Иоп}}, k_{\text{Доп}})$ – основной и побочные определители Гурвица, a_1^* – определяется (2). Из четырех уравнений (6) можно найти оптимальные значения $I_{\text{оп}}$, $k_{\text{Поп}}$, $k_{\text{Иоп}}$, и $k_{\text{Доп}}$. Но эти условия являются необходимыми условиями оптимальности (1). На рис. 1 изображен годограф (4) полинома (2), построенного при выполнении (6), но который не является годографом оптимальной системы. Из этого годографа видно, что увеличение $k_{\text{Доп}}$, полученного из (6), приводит к появлению области, размещение в которой начала координат делает полином (2) устойчивым.

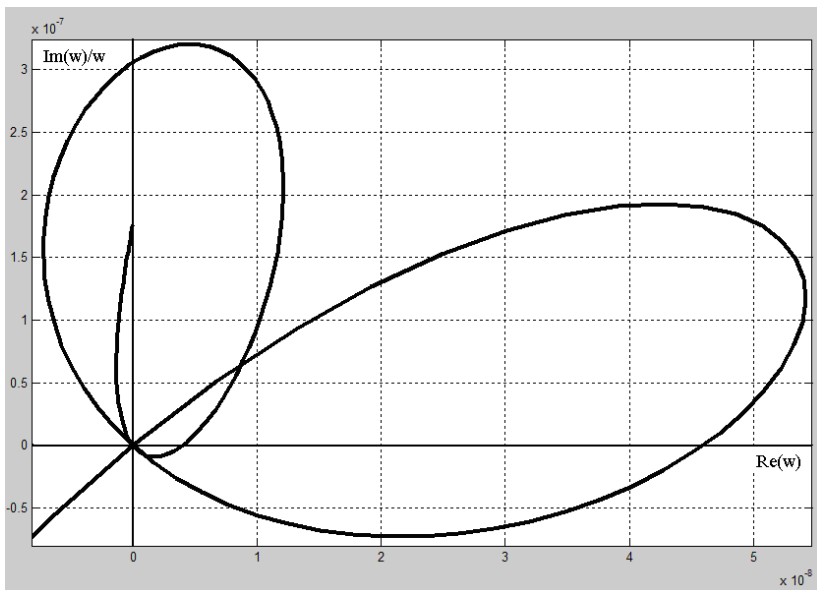


Рис. 1 Годограф неоптимальной системы

Годограф рис. 1 получен для полинома (6), в котором $D_{I[n+l-n_g-2n_k]}(\lambda_1) = D_{I[40]}(\lambda_1) = (\lambda_1 + 1)^{40}$, $n_g = 1, n_k = 3, \gamma_1 = \gamma_2 = \gamma_3 = 1, \omega_1 = 0,03, \omega_2 = 0,1, \omega_3 = 0,14$.

Оптимальность в рассматриваемом случае можно гарантировать следующими соображениями. Рассмотрим векторы кривизн годографа

$$(7) \quad Z_{n0}^*(i\omega) = (\text{Re}_0(\omega^2), \text{Im}_0(\omega^2), -\omega^2 \text{Re}_0(\omega^2)),$$

в точках $\omega = \omega_1, \omega = \omega_2, \omega = \omega_3$ пересечения им начала координат трехмерного пространства $(\text{Re}_0(\omega^2), \text{Im}_0(\omega^2), -\omega^2 \text{Re}_0(\omega^2))$. Такими векторами являются

$(Re_2(\omega_1^2), Im_2(\omega_1^2), -\omega_1^2 Re_2(\omega_1^2) - 2Re_1(\omega_1^2))$,
 $(Re_2(\omega_2^2), Im_2(\omega_2^2), -\omega_2^2 Re_2(\omega_2^2) - 2Re_1(\omega_2^2))$ и
 $(Re_2(\omega_3^2), Im_2(\omega_3^2), -\omega_3^2 Re_2(\omega_3^2) - 2Re_1(\omega_3^2))$,

где $Re_1(\omega^2) = \frac{\partial Re D_{l(n+l)}(i\omega)}{\partial(\omega^2)}$, $Re_2(\omega^2) = \frac{\partial^2 Re D_{l(n+l)}(i\omega)}{\partial^2(\omega^2)}$,

$Im_2(\omega^2) = \frac{\partial^2 \omega^{-1} Im D_{l(n+l)}(i\omega)}{\partial^2(\omega^2)}$.

В рассматриваемом случае эти векторы линейно независимы, поэтому образуемая ими матрица

$$(8) \quad A = \begin{pmatrix} Re_2(\omega_1^2) & Im_2(\omega_1^2) & -\omega_1^2 Re_2(\omega_1^2) - 2Re_1(\omega_1^2) \\ Re_2(\omega_2^2) & Im_2(\omega_2^2) & -\omega_2^2 Re_2(\omega_2^2) - 2Re_1(\omega_2^2) \\ Re_2(\omega_3^2) & Im_2(\omega_3^2) & -\omega_3^2 Re_2(\omega_3^2) - 2Re_1(\omega_3^2) \end{pmatrix}$$

невырождена, т.е. $|A| \neq 0$.

В силу этого существует единственное решение линейного уравнения

$$(9) \quad A \begin{pmatrix} \Delta k_u \\ \Delta k_n \\ \Delta k_\delta \end{pmatrix} = \begin{pmatrix} -\delta \\ 0 \\ 0 \end{pmatrix},$$

где $\delta > 0$, $\Delta k_u, \Delta k_n, \Delta k_\delta$ - вариации параметров ПИД управления, которые годограф (7) на частоте ω_1 сдвигают в направлении, обратном направлению вектора кривизны, обеспечивая на этой частоте устойчивость, а на частотах ω_2 и ω_3 сдвигают этот годограф в направлениях, перпендикулярных направлениям векторов кривизн, сохраняя на этих частотах систему на границе устойчивости. В этом случае достаточным условием оптимальности наряду с (6) будет условие

$$(10) \quad \left| A \begin{vmatrix} \text{Im}_2(\omega_2^2) & -\omega_2^2 \text{Re}_2(\omega_2^2) - 2\text{Re}_1(\omega_2^2) \\ \text{Im}_2(\omega_3^2) & -\omega_3^2 \text{Re}_2(\omega_3^2) - 2\text{Re}_1(\omega_3^2) \end{vmatrix} \right| > 0,$$

где $|A|$ - определитель матрицы (8). При выполнении (10) свободный член полинома (6) становится отрицательным, что противоречит необходимому условию устойчивости этого полинома. Следовательно, условия (6) и (10) являются достаточными условиями оптимальности в случае (5).

На рис. 11 изображен годограф полинома (6) оптимальной системы, для которой выполнено условие (10). Из этого годографа следует, что любое изменение $k_{\text{Доп}}$, полученного из (6), приводит к появлению областей, размещение в которых начала координат делает полином (2) неустойчивым.

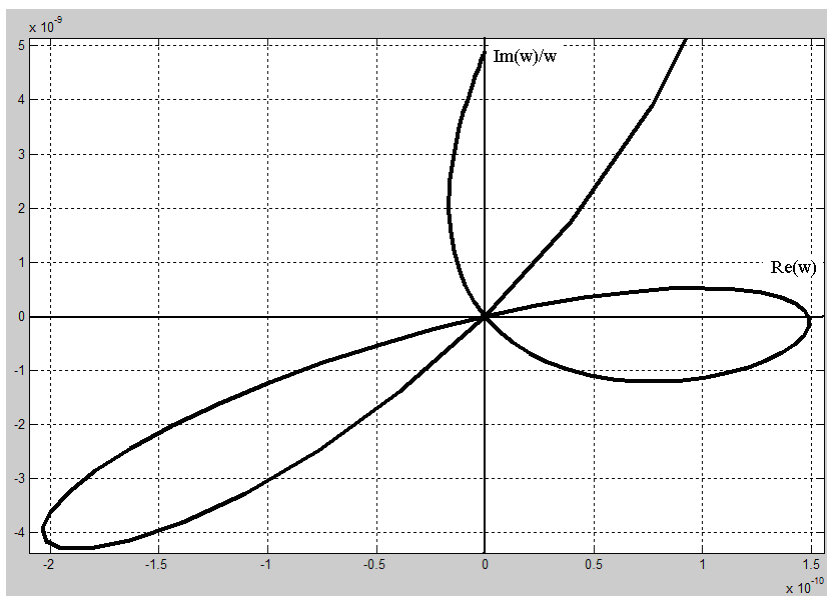


Рис. 2 Годограф оптимальной системы

Годограф рис. 2 получен для полинома (2), в котором

$$D_{I_{[n+1-n_g-2n_k]}}(\lambda_1) = D_{I_{[40]}}(\lambda_1) = (\lambda_1 + 1)^{40},$$

$$n_g = 1, n_k = 3, \gamma_1 = \gamma_2 = \gamma_3 = 1, \omega_1 = 0,02, \omega_2 = 0,05, \omega_3 = 0,07.$$

2. Случай одного действительного корня и кратной комплексно-сопряженной пары корней

В этом случае справедливы условия

$$(11) \quad n_g = 1, n_k = 1, \gamma_1 = 2,$$

при которых крайними правыми корнями (2) являются один действительный корень и кратная комплексно-сопряженная пара корней. Условие (11) может быть при

$$(12) \quad a_1^*(I_{оп}, k_{Поп}, k_{Иоп}, k_{Доп}) = 0, \Delta_{n-3}^{(0)}(I_{оп}, k_{Поп}, k_{Иоп}, k_{Доп}) = \\ = \Delta_{n-3}^{(1)}(I_{оп}, k_{Поп}, k_{Иоп}, k_{Доп}) = 0, \Delta_j^{(0)}(I_{оп}, k_{Поп}, k_{Иоп}, k_{Доп}) > 0,$$

где $1 < j < n-3$, a_1^* - из (3), $\Delta_{n-4}^{(0)}(I_{оп}, k_{Поп}, k_{Иоп}, k_{Доп})$, $\Delta_{n-3}^{(1)}(I_{оп}, k_{Поп}, k_{Иоп}, k_{Доп})$ - основной и побочный определители Гурвица. Для нахождения четырех параметров $I_{оп}$, $k_{Поп}$, $k_{Иоп}$ и $k_{Доп}$ введем полином

$$(13) \quad D_{I_{(n-1)}}^{(1)}(I_{оп}) = \text{Re}_1(\omega^2) + i\omega \text{Im}_1(\omega^2),$$

$$\text{где } \text{Re}_1(\omega^2) = \frac{\partial \text{Re} D_{I_{(n+1)}}(i\omega)}{\partial(\omega^2)}, \quad \text{Im}_1(\omega^2) = \frac{\partial \omega^{-1} \text{Im} D_{I_{(n+1)}}(i\omega)}{\partial(\omega^2)}$$

Полином (13) имеет корень на той же частоте, что и полином (2), поэтому справедливо условие

$$(14) \quad \Delta_{I_{(n-2)}}(I_{оп}, k_{Доп}) = 0,$$

где $\Delta_{I_{(n-2)}}(I_{оп}, k_{Доп})$ - основной определитель Гурвица полинома (13). Условия (12) и (14) являются необходимыми условиями оптимальности. Поэтому найденные из них четыре неизвестных $I_{оп}$, $k_{П}$, $k_{И}$, $k_{Д}$ могут и не быть оптимальными. На рис. 3 изображен годограф полинома (2), построенного при выполнении (12), (14), но который не является годографом оптимальной системы, т.к. при увеличении $k_{Д}$ «носик» преобразуется в петлю и сдвигается влево, образуя соответствующим выбором $k_{П}$, и $k_{И}$ область «устойчивых» корней.

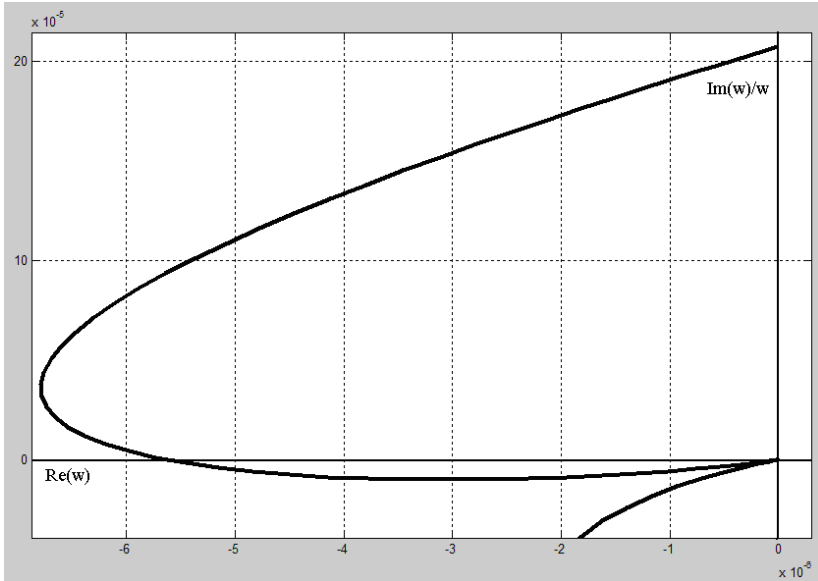


Рис. 3 Годограф неоптимальной системы

Годограф рис. 3 получен для полинома (2), в котором $D_{I[n+1-n_g-2n_k]}(\lambda_1) = D_{I[\sigma]}(\lambda_1) = (\lambda_1 + 1)^{20}$, $n = 24, n_g = 1, n_k = 1, \gamma_1 = 2, \omega_1 = 0,12$.

Для оптимальности системы (2), (12) и (14) достаточно выполнение условия на знак второй производной мнимой части

$$(15) \quad \text{Im}_2(\omega_1^2) > 0,$$

где $\text{Im}_2(\omega^2) = \frac{\partial^2 \omega^{-1} \text{Im} D_{I(n+1)}(i\omega)}{\partial^2(\omega^2)}$ при $\omega = \omega_1$, ω_1 - частота, на

которой годограф (4) «касается» начала координат. На рис. 4 изображен годограф (4) полинома оптимальной системы (2), для которой выполнено условие (15).

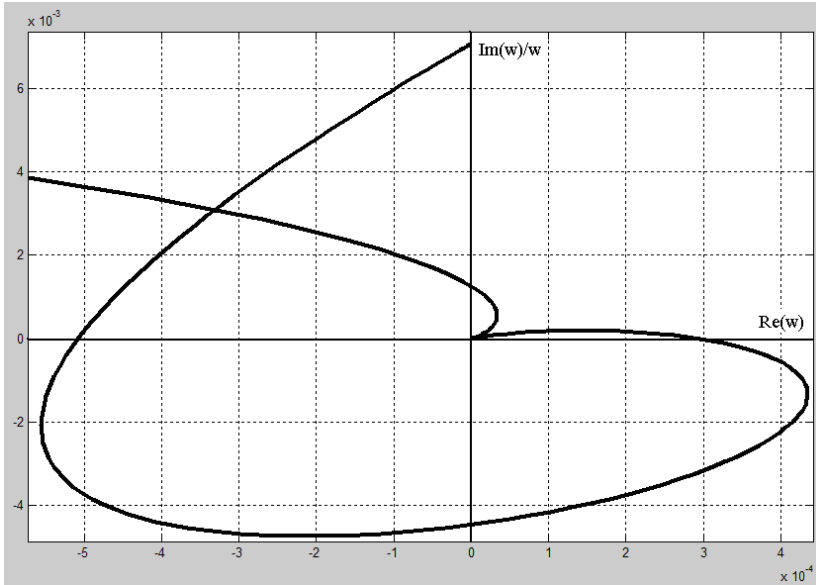


Рис. 4 Годограф оптимальной системы

Годограф рис. 4 получен для полинома (2), в котором
 $D_{I[n+I-n_g-2n_k]}(\lambda_1) = D_{I[20]}(\lambda_1) = (\lambda_1 + 1)^{20}$,
 $n = 24, n_g = 1, n_k = 1, \gamma_1 = 2, \omega_1 = 0,29$.

3. Случай одной комплексно-сопряженной пары и кратной комплексно-сопряженной пары корней

В этом случае справедливы условия

$$(16) \quad n_g = 0, n_{k1} = 2, \gamma_1 = 1, \gamma_2 = 2,$$

при которых крайними правыми корнями (2) являются пара комплексно-сопряженных корней и кратная комплексно-сопряженная пара корней. Условие (16) может быть при

$$(17) \quad \Delta_{n-4}^{(0)}(I_{оп}, k_{Поп}, k_{Иоп}, k_{Доп}) = \Delta_{n-4}^{(1)}(I_{оп}, k_{Поп}, k_{Иоп}, k_{Доп}) = \\ = \Delta_{n-4}^{(2)}(I_{оп}, k_{Поп}, k_{Иоп}, k_{Доп}) = 0, \Delta_{j}^{(0)}(I_{оп}, k_{Поп}, k_{Иоп}, k_{Доп}) > 0,$$

где $1 < j < n-4$, $\Delta_{n-4}^{(0)}$, $\Delta_{n-4}^{(1)}$ и $\Delta_{n-4}^{(2)}$ – основной и побочные определители Гурвица. Для нахождения четырех параметров $I_{оп}$, $k_{Поп}$, $k_{Иоп}$, $k_{Доп}$, как и в предыдущем случае, введем полином

$$(18) \quad D_{1(n-1)}^{(1)}(I_{оп}) = \text{Re}_1(\omega^2) + i\omega \text{Im}_1(\omega^2),$$

где функции $\text{Re}_1(\omega^2)$ и $\text{Im}_1(\omega^2)$ определены в (13). Полином (18) имеет корень на той же частоте, что и полином (2). Поэтому справедливо условие

$$(19) \quad \Delta_{1(n-2)}(I_{оп}, k_{Доп}) = 0,$$

где $\Delta_{1(n-2)}(I_{оп}, k_{Доп})$ – основной определитель Гурвица полинома (18). Условия (17) и (19) являются необходимыми условиями оптимальности. Найденные из них четыре неизвестных $I_{оп}$, $k_{Поп}$, $k_{Иоп}$, $k_{Доп}$ не всегда оптимальны. На рис. 5 изображен годограф полинома (2), построенного при выполнении (17), (19), но который не является годографом оптимальной системы, потому что его, как и в предыдущем случае 7, вариациями $k_{П}$, $k_{И}$ и $k_{Д}$ можно сделать годографом устойчивой системы.

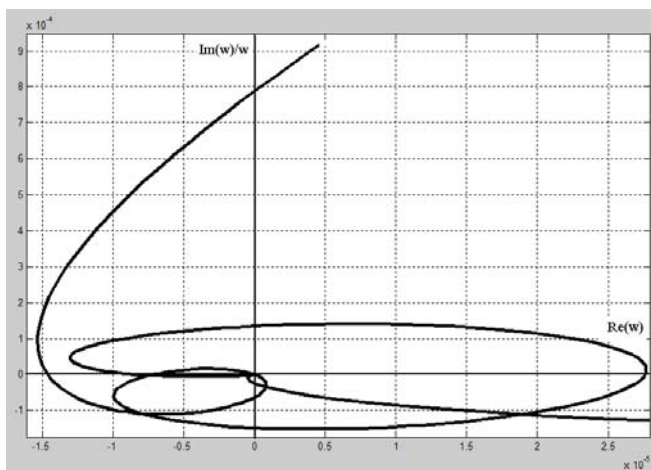


Рис. 5 Годограф неоптимальной системы

Годограф рис. 5 получен для полинома (2), в котором

$$D_{I[n+1-n_g-2n_k]}(\lambda_1) = D_{I[40]}(\lambda_1) = (\lambda_1 + 1)^{60},$$

$$n = 65, n_g = 0, n_k = 2, \gamma_1 = 1, \gamma_2 = 2, \omega_1 = 0,09, \omega_2 = 0,23.$$

Для оптимальности системы (2), (17) и (19) достаточно выполнение условия на знак произведения мнимых частей

$$(20) \quad \text{Im}_1(\omega_1^2) \text{Im}_2(\omega_2^2) > 0,$$

где $\text{Im}_1(\omega_1^2)$ - мнимая часть направляющего вектора годографа (4) при пересечении им на частоте ω_1 начала координат (что соответствует некратной паре корней (46)),

$$\text{Im}_2(\omega^2) = \frac{\partial^2 \omega^{-1} \text{Im} D_{I(n+1)}(i\omega)}{\partial^2 (\omega^2)} \text{ при } \omega = \omega_2, \omega_2\text{- частота, на кото-}$$

рой годограф (9) «касается» начала координат. На рис. 6 изображен годограф (4) полинома оптимальной системы (2), для которой выполнено условие (20).

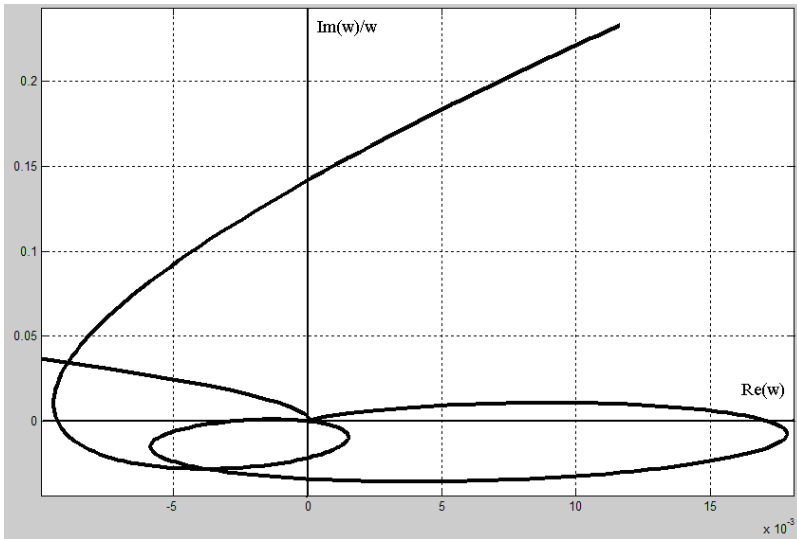


Рис. 6 Годограф оптимальной системы

Годограф рис. 6 получен для полинома (2), в котором

$$D_{I_{[n+1-n_g-2n_k]}}(\lambda_1) = D_{I_{[20]}}(\lambda_1) = (\lambda_1 + 1)^{20},$$

$$n = 25, n_g = 0, n_k = 2, \gamma_1 = 1, \gamma_2 = 2, \omega_1 = 0, 3, \omega_2 = 0, 6.$$

4. Случай двух комплексно-сопряженных пар корней

В этом случае справедливы условия

$$(21) \quad n_g = 0, n_{k1} = 2, \gamma_1 = 1, \gamma_2 = 1,$$

при которых крайними правыми корнями (2) являются две пары комплексно-сопряженных корней с касанием годографом (4) при пересечении им начала координат на частотах ω_1 и ω_2 действительной оси. Условию (21) соответствуют уравнения

$$(22) \quad \Delta_{n-2}^{(0)}(I_{оп}, k_{Поп}, k_{Иоп}, k_{Доп}) = \Delta_{n-2}^{(1)}(I_{оп}, k_{Поп}, k_{Иоп}, k_{Доп}) = 0,$$

$$\Delta_{n-2}^{(0)}(I_{оп}, k_{Поп}, k_{Иоп}, k_{Доп}) > 0,$$

где $1 < j < n-3$ $\Delta_{n-2}^{(0)}$ и $\Delta_{n-2}^{(1)}$ – основной и побочный определители Гурвица. Для получения двух дополнительных уравнений введем полином, учитывающий факт касания годографом (4) действительной оси. Такой факт имеет место при выполнении условия

$$(23) \quad Im_I(\omega_1^2) = Im_I(\omega_2^2) = 0,$$

где $Im_I(\omega^2)$ из (15). Из (23) следует, что полином

$$(24) \quad D_{I_{n_1}}(\omega^2) = Im_0(\omega^2) + i\omega Im_I(\omega^2),$$

где $n_1 = 2 \left\lfloor \frac{n}{2} \right\rfloor$, $\left\lfloor \frac{n}{2} \right\rfloor$ – целая часть числа $\frac{n}{2}$, имеет те же комплексно-сопряженные пары корней, что и исходный полином

(2). Поэтому в оптимальном случае справедливо уравнение

$$(25) \quad \Delta_{n_1-3}^{(0)}(I_{он}, k_{Пон}) = \Delta_{n_1-3}^{(1)}(I_{он}, k_{Пон}) = 0,$$

где $\Delta_{n_1-3}^{(0)}(I_{он}, k_{Пон}), \Delta_{n_1-3}^{(1)}(I_{он}, k_{Пон})$ – определители Гурвица размерности $n_1 - 3$ полинома (24).

Из (22) и (25) можно определить четыре неизвестных параметра $I_{оп}, k_{Поп}, k_{Иоп}, k_{Доп}$. Но условия (22) и (25) являются необходимыми условиями оптимальности. Подтверждается это годо-

графом (4) полинома (2), изображенном на рис. 7, для которого условия (22) и (25) выполнены, но очевидно, что изменением только параметров k_{Π} и $k_{\text{И}}$ полином (2) может быть сделан устойчивым.

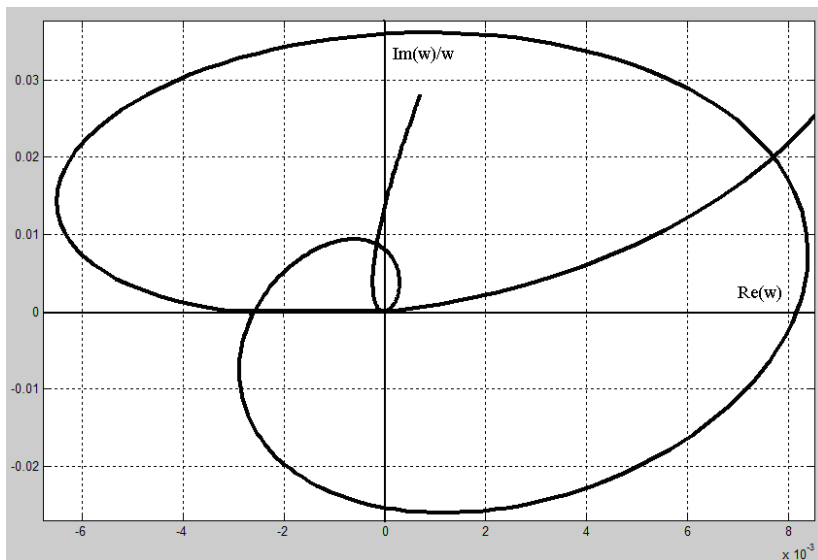


Рис. 7 Годограф неоптимальной системы

Годограф рис. 7 получен для полинома (2), в котором $D_{I[n+I-n_g-2n_k]}(\lambda_1) = D_{I[40]}(\lambda_1) = (\lambda_1 + 1)^{40}$, $n = 43, n_g = 0, n_k = 2, \gamma_1 = \gamma_2 = 1, \omega_1 = 0,08, \omega_2 = 0,331$.

Достаточные условия оптимальности можно получить добавлением к (22), (25) условия на направления годографа в точке пересечения им на частотах ω_1 и ω_2 начала координат. Эти направления, лежащие на прямой $Im = 0$, должны быть противоположны друг другу, что имеет место при выполнении неравенства

$$(26) \quad Re_1(\omega_1^2)Re_1(\omega_2^2) < 0,$$

где $Re_i(\omega^2)$ из (13).

Условия (22), (25) и (26) являются достаточными условиями оптимальности в рассматриваемом случае. На рис. 8 изображен годограф (4), соответствующий оптимальному по степени устойчивости решению и удовлетворяющий условиям (22), (25) и (26).

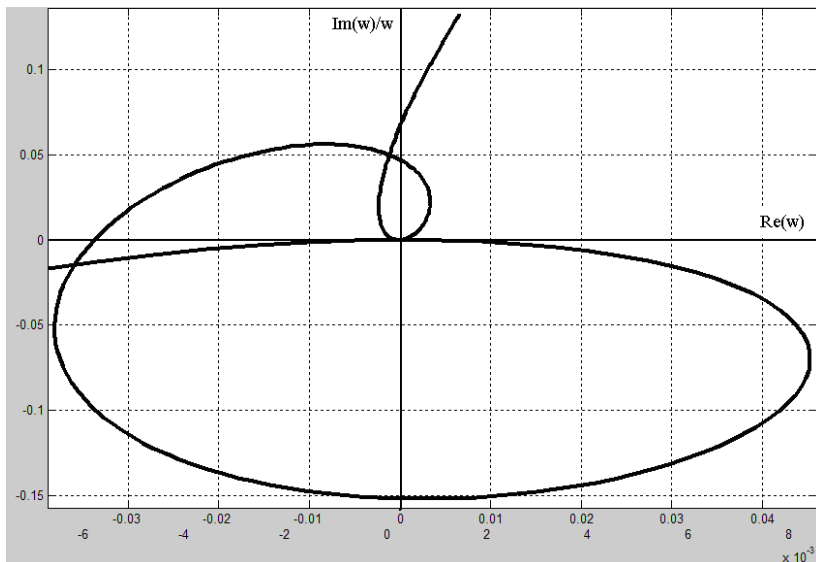


Рис. 8 Годограф оптимальной системы

Годограф рис. 8 получен для полинома (2), в котором $D_{I[n+I-n_g-2n_k]}(\lambda_1) = D_{I[20]}(\lambda_1) = (\lambda_1 + 1)^{20}$,
 $n = 23, n_g = 0, n_k = 2, \gamma_1 = \gamma_2 = 1, \omega_1 = 0,16, \omega_2 = 0,51$.

5. Случай четырех комплексно-сопряженных пар корней

В этом случае справедливы условия

$$(27) \quad n_g = 0, n_k = 4, \gamma_1 = \gamma_2 = \gamma_3 = \gamma_4 = 1,$$

при которых крайними правыми корнями (2) являются четыре пары комплексно-сопряженных корней. Условие (27) может быть при

$$(28) \quad \Delta^{(0)}_{n-6}(I_{оп}, k_{Поп}, k_{Иоп}, k_{Доп}) = \Delta^{(1)}_{n-6}(I_{оп}, k_{Поп}, k_{Иоп}, k_{Доп}) = \\ = \Delta^{(2)}_{n-6}(I_{оп}, k_{Поп}, k_{Иоп}, k_{Доп}) = \Delta^{(3)}_{n-6}(I_{оп}, k_{Поп}, k_{Иоп}, k_{Доп}) = 0,$$

$$\Delta^{(0)}_j(I_{оп}, k_{Поп}, k_{Иоп}, k_{Доп}) > 0,$$

где $1 < j < n-6$, $\Delta^{(0)}_{n-5}(I_{оп}, k_{Поп}, k_{Иоп}, k_{Доп})$, $\Delta^{(1)}_{n-5}(I_{оп}, k_{Поп}, k_{Иоп}, k_{Доп})$,

$\Delta^{(2)}_{n-5}(I_{оп}, k_{Поп}, k_{Иоп}, k_{Доп})$ и $\Delta^{(3)}_{n-6}(I_{оп}, k_{Поп}, k_{Иоп}, k_{Доп})$ – основной и

побочные определители Гурвица. Из четырех уравнений (28)

можно найти оптимальные значения $I_{оп}$, $k_{Поп}$, $k_{Иоп}$ и $k_{Доп}$. Эти

условия - необходимые условия оптимальности (1). На рис. 11

изображен годограф (4) полинома (2), построенного при выполнении (28), но который не является годографом оптимальной

системы.

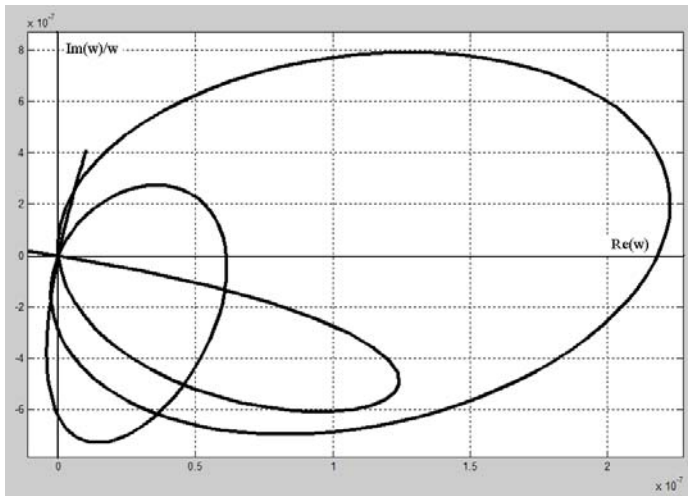


Рис. 9 Годограф неоптимальной системы

Годограф рис. 9 получен для полинома (2), в котором

$$D_{I[n+1-n_g-2n_k]}(\lambda_1) = D_{I[40]}(\lambda_1) = (\lambda_1 + 1)^{40},$$

$$n = 47, n_g = 0, n_k = 4, \gamma_1 = \gamma_2 = \gamma_3 = \gamma_4 = 1, \omega_1 = 0,02, \omega_2 = 0,11, \omega_3 = 0,2, \omega_4 = 0,23.$$

Оптимальность в рассматриваемом случае гарантируется следующим образом. Рассмотрим векторы кривизн годографа $Z_{n0}^*(i\omega)$ (7) в точках $\omega = \omega_1, \omega = \omega_2, \omega = \omega_3$, пересечения им начала координат трехмерного пространства $(\text{Re}_0(\omega^2), \text{Im}_0(\omega^2), -\omega^2 \text{Re}_0(\omega^2))$. Такими векторами являются введенные при рассмотрении случая 1 векторы, используемые в матрице A (8). В силу линейной независимости этих векторов линейное уравнение (9), как было отмечено ранее, имеет единственное решение $\Delta k_u, \Delta k_n, \Delta k_o$, при котором годограф (7) на частоте ω_1 сдвигается в сторону устойчивости, а на частотах ω_2 и ω_3 этот годограф сохраняется на границе устойчивости. В этом случае достаточным условием оптимальности наряду с (39) будет условие на знак скалярного произведения вектора кривизны на частоте $\omega = \omega_4$ на вариацию вектора $\Delta k_u, \Delta k_n, \Delta k_o$ решения линейного уравнения (9)

(29)

$$\langle (\text{Re}_2(\omega_4^2), \text{Im}_2(\omega_4^2), -\omega_4^2 \text{Re}_2(\omega_4^2) - 2\text{Re}_1(\omega_4^2)), (\Delta k_u, \Delta k_n, \Delta k_o) \rangle = -\delta_4 < 0$$

На рис. 10 изображен годограф полинома (2) оптимальной системы (1), для которой выполнены условия (28), (29).

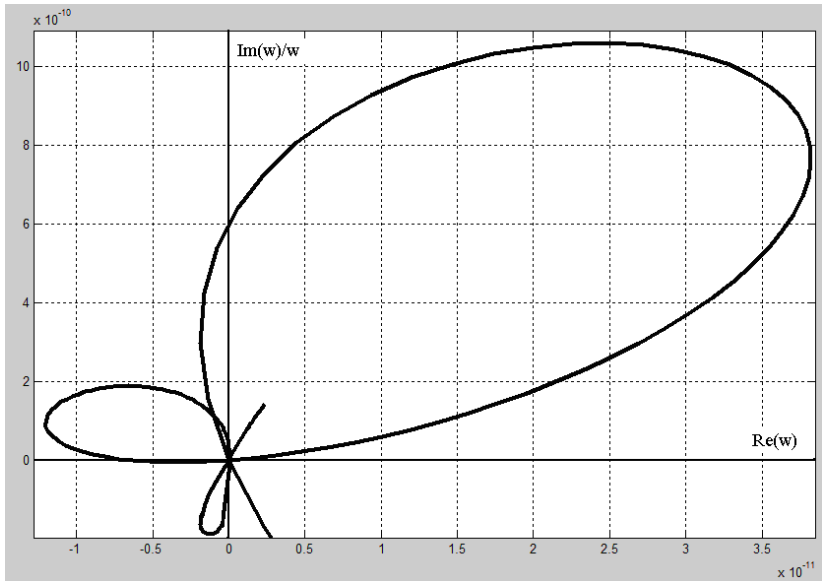


Рис. 9 Годограф оптимальной системы

Годограф рис. (10) получен для полинома (2), в котором

$$D_{I[n+l-n_g-2n_k]}(\lambda_1) = D_{I[40]}(\lambda_1) = (\lambda_1 + 1)^{40},$$

$$n = 47, n_g = 0, n_k = 4, \gamma_1 = \gamma_2 = \gamma_3 = \gamma_4 = 1, \omega_1 = 0,015, \omega_2 = 0,023, \omega_3 = 0,055, \omega_4 = 0,08$$

Заключение

Таким образом проведено исследование шести структур оптимальных по степени устойчивости решений при ПИД законе управления. Получены достаточные условия оптимальности каждой из возможных оптимальных структур. С помощью машинных методов расчета построены годографы замкнутых систем управления, для которых в одном случае выполняются только необходимые условия оптимальности, в другом – доста-

точные условия. Вид построенных годографов оптимальных систем отражает геометрический смысл полученных решений.

Литература

1. А.М. ШУБЛАДЗЕ, В.Е. ПОПАДЬКО, С.И. КУЗНЕЦОВ, А.А. ЯКУШЕВА *Исследование оптимальных по степени устойчивости решений при ПИД управлении. Часть I.*
2. ШУБЛАДЗЕ А.М. *Достаточные условия экстремума в системах максимальной степени устойчивости. II.* // *АиТ.* 1997 N 8. С. 67-79